

З.Д. Ковалюк, В.Б. Орлецький, О.М. Сидор, В.В. Нетяга  
**Дослідження електричних та оптичних властивостей  
бар'єрів Шоткі In/p-CuInSe<sub>2</sub>**

*Інститут проблем матеріалознавства НАН України, Чернівецьке відділення,  
вул. І. Вільде, 5, м. Чернівці, 58001, Україна,  
тел: 8 (+03722) 2-00-50, E-mail: chimsp@unicom.cv.ua*

Бар'єри Шоткі виготовлені шляхом термічного напилення індію на монокристали CuInSe<sub>2</sub> р-типу. Обговорюються температурні залежності вольт-амперних характеристик, спектри фотовідклику та інтерпретовано механізми проходження струму досліджуваних діодів. Показано, що отримані поверхнево-бар'єрні структури є перспективними для створення фотоперетворювачів сонячного випромінювання.

**Ключові слова:** CuInSe<sub>2</sub>, бар'єр Шоткі, вольт-амперні характеристики, фотовольтаїчний ефект.

*Стаття постуила до редакції 01.04.2003; прийнята до друку 23.08.2003.*

## I. Вступ

Створення перетворювачів сонячної енергії з ефективністю більше 30% згідно міжнародної програми „Форсайт” (Великобританія) на найближчий період стоїть на першому місці у списку „найкорисніших” явищ у науці й техніці.

В останнє десятиріччя CuInSe<sub>2</sub> та тверді розчини CuIn<sub>1-x</sub>GaxSe<sub>2</sub> широко вивчаються як перспективні матеріали для створення тонкоплівкових сонячних елементів низької вартості і ефективністю понад 15% [1]. Крім того, він характеризується радіаційною стійкістю [2]. Диселенід міді та індію кристалізується в халькопіритній кристалічній структурі (просторова група D<sub>2d</sub><sup>12</sup> – 142d) з параметрами елементарної комірки a = 5,78 Å, c = 11,62 Å. Він володіє прямою енергетичною зоною (E<sub>g</sub> ≈ 1 eV) та високим коефіцієнтом поглинання (α ≥ 10<sup>5</sup> см<sup>-1</sup>). Для даного матеріалу існує можливість виготовлення високоефективних перетворювачів як на основі плівка-монокристал, так і плівка-плівка.

Аналіз літературних даних свідчить, що зараз активно вивчаються гомо- та гетеропереходи, виготовлені на основі диселеніду міді та індію, проте дослідження бар'єрів Шоткі на основі CuInSe<sub>2</sub> носить епізодичний характер.

У даній роботі розглянуті фото- та електричні властивості контакту метал-напівпровідник In/p-CuInSe<sub>2</sub>.

## II. Експеримент

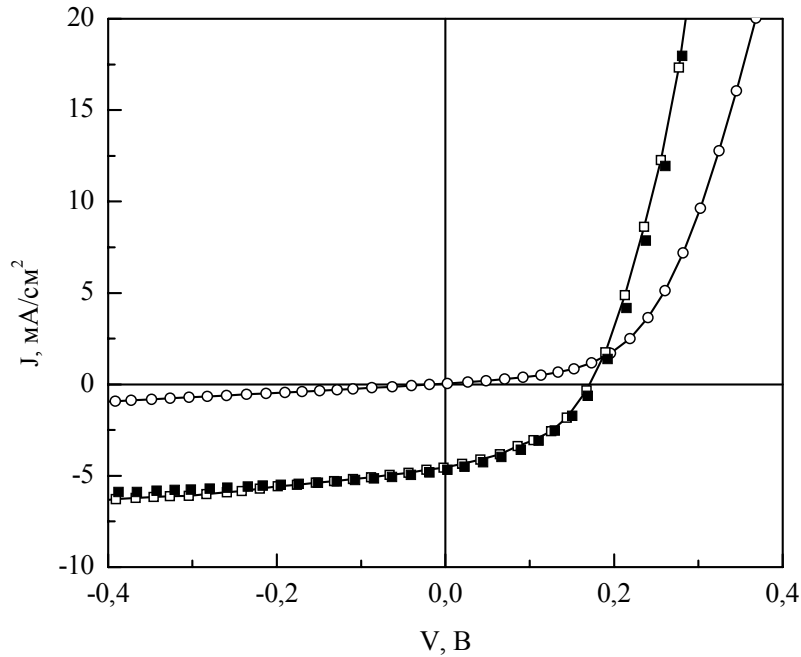
Кристали диселеніду міді та індію вирощувалися вертикальним методом Бріджмена з попередньо

синтезованих злитків стехіометричного складу з надлишком селену (до 0,5 ат.%). Концентрація та рухливість носіїв заряду визначались з холівських досліджень і складали при кімнатній температурі 1,0·10<sup>17</sup> – 3,0·10<sup>17</sup> см<sup>-3</sup> та 20 – 50 см<sup>2</sup>V<sup>-1</sup>s<sup>-1</sup> відповідно. З кристалів вирізались пластинки з середніми розмірами 5×5×0,15 мм<sup>3</sup>, що потім механічно полірувались і травились. Напівпрозорий шар індію (товщиною 0,6 мкм) наносився на поверхню напівпровідника методом термічного випаровування у вакуумі. Тильний контакт створювався напиленням шару золота. Омичність контактів перевірялась по вольт-амперним і шумовим характеристикам.

## III. Результати і обговорення

При освітленні бар'єрів Шоткі In/p-CuInSe<sub>2</sub> зі сторони металу чітко спостерігається фотовольтаїчний ефект. Як видно з представленої на рисунку 1 світлової вольт-амперної характеристики (ВАХ) досліджуваних діодів, напруга холостого ходу при освітленні світлом лампи з густиною потоку випромінювання P = 100 мВт/см<sup>2</sup> сягала V<sub>xx</sub> ~ 0,2 В, а струм короткого замикання дорівнював I<sub>кз</sub> ~ 4,7 мА/см<sup>2</sup>. Слід відмітити, що для реального фотоперетворювача в еквівалентній схемі слід враховувати не тільки послідовний опір R<sub>s</sub>, який включає опір товщі напівпровідника і контактів, але й шунтуючий опір R<sub>sh</sub>, ввімкнений паралельно бар'єрному шару. В цьому випадку світлову ВАХ можна описати наступним виразом [3]:

$$J = J_s \{ \exp[q(V - JR_s)/nkT] - 1 \} + [(V - JR_s)/R_{sh}] - J_L \quad (1)$$



**Рис. 1.** Світлова і темнова ВАХ бар’єрів Шоткі In/p-CuInSe<sub>2</sub> при освітленні P = 100 мВт/см<sup>2</sup> і T = 293 К  
 ■ – теоретична крива, побудована згідно формули (1).

де q – заряд електрона, k – постійна Больцмана, n – діодний коефіцієнт, T – температура, J<sub>s</sub> – густина діодного струму насичення, J<sub>L</sub> – фотострум.

Аналізуючи світлову ВАХ згідно (1), були визначені діодні параметри R<sub>s</sub> та R<sub>sh</sub> (див. табл. 1) та побудована теоретична крива (рис. 1), яка задовільно узгоджується з експериментальною.

Вимірювання прямих та обернених темнових ВАХ при різних температурах було проведено для визначення механізмів струмопереносу в досліджуваних структурах.

Бар’єри Шоткі в інтервалі температур 240–324 К володіють яскраво вираженими діодними характеристиками. Коефіцієнти випрямлення, визначені на серії структур, при зміщенні 1,3 В досягають не менше 200 при кімнатній температурі, що корелює з літературними даними [4].

В діапазоні прямих зміщень 0 < V < 0,2 В (рис. 2) спостерігається нахил кривих ВАХ приблизно рівний одиниці (див. табл. 2), що відповідає або тунелюванню носіїв або струму, обмеженому

просторовим зарядом в режимі насичення швидкості, який задається [5, 6]:

$$J = \frac{2\epsilon\epsilon_0 v_{sat} A}{L^2} V, \tag{2}$$

де ε – діелектрична константа, ε<sub>0</sub> – діелектрична проникність вакууму, v<sub>sat</sub> – швидкість насичення, A – площа діода, L – товщина напівпровідника.

Як видно з рисунка 3, початкова ділянка ВАХ при прямих зміщеннях kT/q << V < V<sub>bi</sub> (падіння напруги на R<sub>s</sub> нами нехтувалось) зростає за експоненціальним законом [7]:

$$J \cong J_s \exp\left(\frac{qV}{nkT}\right) = A^* T^2 \exp\left(\frac{-q\phi_b}{kT}\right) \exp\left(\frac{qV}{nkT}\right), \tag{3}$$

де  $A^* = \frac{4\pi q m^* k^2}{h^3} = 85,32 \text{ A/cm}^2 \text{K}^2$  ефективна константа Річардсона для CuInSe<sub>2</sub>, m\* – ефективна маса дірок, φ<sub>b</sub> – висота бар’єра, h – постійна Планка.

J<sub>s</sub>, як екстраполяційна величина густини струму при нульовій напрузі, знаходиться в межах 5,28·10<sup>-6</sup> –

**Таблиця 1.**

Деякі світлові і темнові параметри бар’єрів Шоткі In/p-CuInSe<sub>2</sub> при різних температурах.

Параметри	Температура				
	240 К	255 К	274 К	296 К	324 К
J <sub>0</sub> , А/см <sup>2</sup>				5,78·10 <sup>-5</sup>	
R <sub>s</sub> темновий, Ом·см <sup>2</sup>				0,32	
R <sub>sh</sub> темновий, Ом·см <sup>2</sup>	5,28·10 <sup>-6</sup>	8,71·10 <sup>-6</sup>	1,78·10 <sup>-5</sup>	436	9,9·10 <sup>-5</sup>
R <sub>s</sub> світловий, Ом·см <sup>2</sup>	0,49	0,42	0,36	0,25	0,35
R <sub>sh</sub> світловий, Ом·см <sup>2</sup>	1199	927	846	210	328
V <sub>oc</sub> , В				0,2	
J <sub>sc</sub> , mA/cm <sup>2</sup>				4,7	

Таблиця 2.

Степеневий показник  $m$  і діодний коефіцієнт  $n$ , отримані з аналізу вольт-амперних характеристик при різних температурах.

Температура, К	Обернене зміщення, В			Пряме зміщення, В		
	$ V  > 3$	$1,5 <  V  < 3$	$ V  < 1,5$	$0 < V < 0,2$	$0,2 < V < 0,5$	$V > 0,5$
240	$m = 3,5$	$m = 1,56$	$m = 1,02$	$m = 1,1$	$n = 3,0$	$m = 2,5$
255	$m = 3,4$	$m = 1,60$	$m = 1,05$	$m = 1,07$	$n = 2,6$	$m = 2,2$
274	$m = 3,37$	$m = 1,54$	$m = 1,09$	$m = 0,98$	$n = 2,4$	$m = 2,0$
296	$m = 2,6$	$m = 1,50$	$m = 1,04$	$m = 0,96$	$n = 2,26$	$m = 2,0$
324	$m = 2,7$	$m = 1,48$	$m = 1,01$	$m = 1,27$	$n = 1,78$	$m = 2,0$

$9,9 \cdot 10^{-5} \text{ Асм}^{-2}$  в залежності від температури (див. табл. 1). Коефіцієнт  $n$ , визначений з нахилу кривої  $\ln(J)$  від  $V$ , змінюється від 1,78 до 3,0. В області низьких температур, де діодний коефіцієнт має найбільше значення, присутній тунельно-рекомбінаційний механізм струмопереносу. При температурах вищих кімнатної, коли  $n \approx 2$ , струм носить рекомбінаційний характер, а при ще вищих температурах проходження струму поступово набирає надбар'єрного характеру (термоелектронна емісія), що пов'язано зі зменшенням потенціального бар'єру. Слід відмітити, що в механізми струмопроходження дає внесок й деяке тунелювання носіїв, так як криві ВАХ не сильно змінюються з температурою.

При напругах  $0,5 < V < 1 \text{ В}$  чітко проявляється квадратична залежність струму (рис. 2). Цей факт свідчить про присутність струмів, обмежених просторовим зарядом в режимі рухливості

(безпастковий квадратичний закон) [5,6]:

$$J = \frac{9\epsilon\epsilon_0\mu A}{8L^3} V^2, \quad (4)$$

де  $\mu$  – рухливість дірок.

Необхідно відмітити, що присутність струмів, обмежених просторовим зарядом, як при прямих так і обернених зміщеннях вже спостерігалась для досліджуваного матеріалу [5].

При великих прямих зміщеннях відбувається компенсація вбудованого потенціалу  $V_{bi}$  прикладеною зовнішньою напругою  $V$ . Тому надлишок напруги  $V$  над  $V_{bi}$  спадає в основному на  $R_s$ . Отже, при великих прямих струмах справедливим є наступне співвідношення:

$$J \cong \frac{V - V_{bi}}{R_s}. \quad (5)$$

Формула (5) описує пряму лінію, котангенс кута нахилу якої дає значення  $R_s$ . Визначені значення

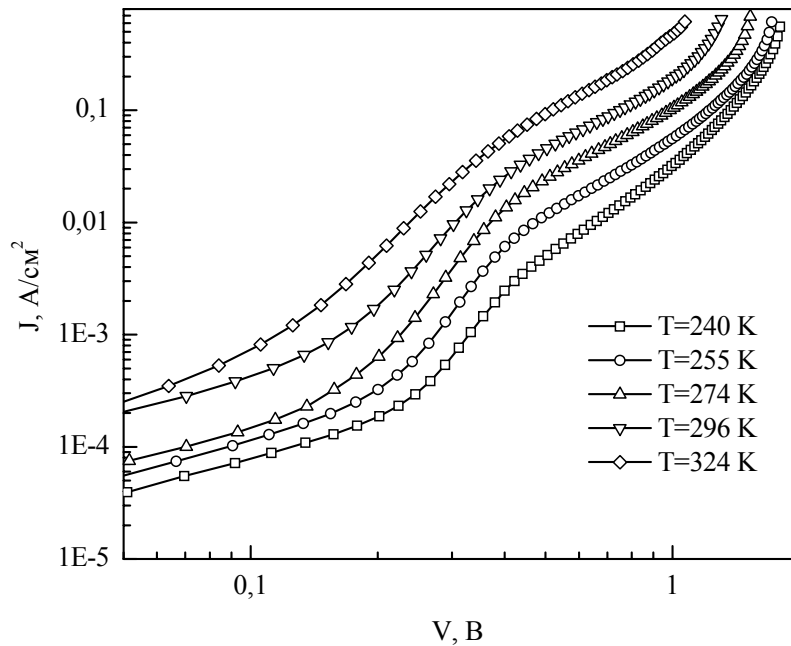
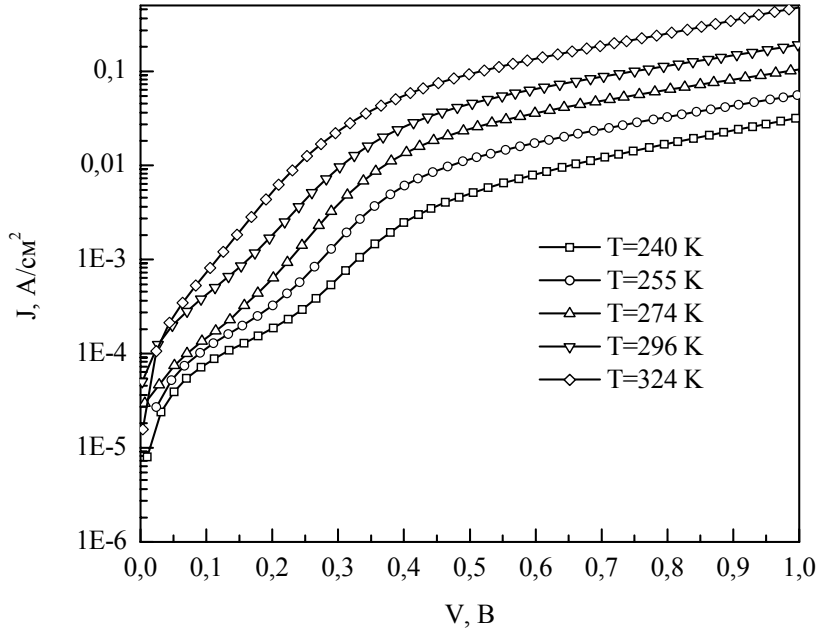


Рис. 2. Прямі вітки ВАХ бар'єрів Шоткі In/p-CuInSe<sub>2</sub> при різних температурах, побудовані у логарифмічному масштабі.



**Рис. 3.** Прямі вітки ВАХ бар'єрів Шоткі In/p-CuInSe<sub>2</sub> при різних температурах, побудовані у напівлогарифмічному масштабі.

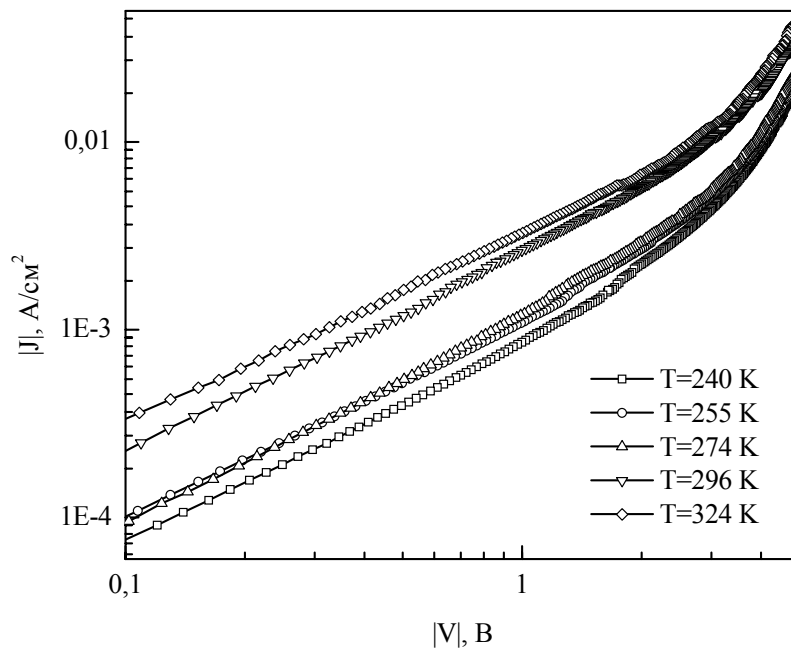
послідовного опору в інтервалі температур 240-324 К приведені в таблиці 1. Деяке зростання послідовного опору при 324 К пов'язане в основному з зростанням опору напівпровідника, що підтверджується характером вимірів температурної залежності електропровідності на контрольних зразках.

Обернені струми, як видно з рисунка 4, підкоряються закону  $J \sim V^m$  в усьому діапазоні

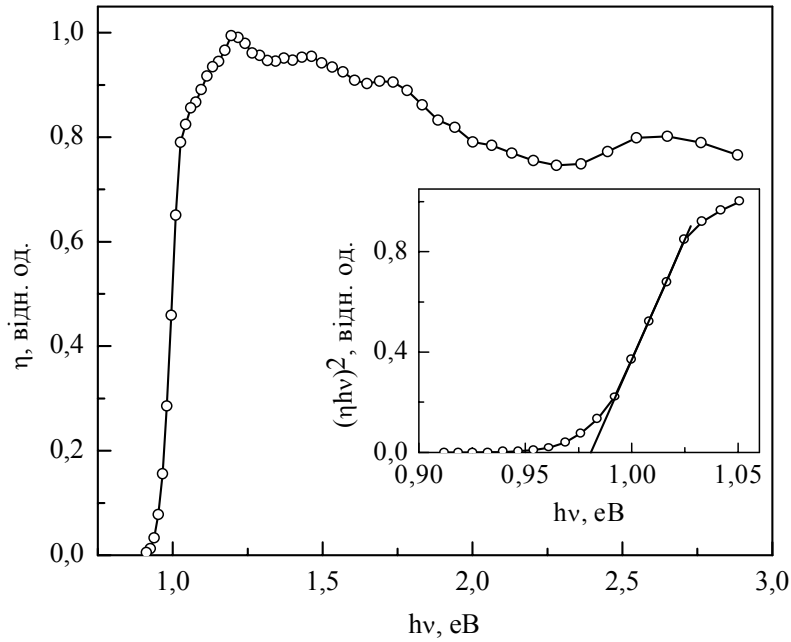
напруг (див. табл. 2).

Для зміщень  $0 < V < -1,5$  В характерна лінійна слабка температурна залежність ВАХ. Тому проходження струму відповідає або тунельному механізму або описується (2).

В інтервалі напруг  $-1,5 < V < -3$  В криві  $\log J - \log V$  задаються степеневою залежністю  $J \sim V^{1,48 \pm 1,6}$ , що описується законом Чайлда-Лангмюра



**Рис. 4.** Обернені вітки ВАХ бар'єрів Шоткі In/p-CuInSe<sub>2</sub> при різних температурах, побудовані у логарифмічному масштабі.



**Рис. 5.** Залежність відносної квантової ефективності фотоперетворення  $\eta$  від  $h\nu$  для бар'єрів Шоткі In/p-CuInSe<sub>2</sub>. На вставці представлено залежність  $(\eta h\nu)^2$  від  $h\nu$  для визначення  $E_g$ .

(струми обмежені просторовим зарядом в балістичному режимі) [5,6]:

$$J = \frac{4\epsilon}{9L^2} \left( \frac{2q}{m^*} \right)^{1/2} V^{3/2}, \quad (6)$$

При більших обернених зміщеннях степеневий показник зростає до  $2,6 < m < 3,5$ . Для цієї ситуації описати залежність струму від напруги можна при врахуванні неперервного (експоненціального) розподілу пасток по енергіях [6]:

$$J \approx q\mu N_0 \left( \frac{\epsilon}{qN_0 kT_t} \right)^m \frac{1}{L^{2m+1}} V^{m+1}, \quad (7)$$

де  $N_0$  – ефективна густина станів у валентній зоні,  $N_0 = N_t(E)/\exp[-E/kT_t]$ ,  $N_t(E)$  – концентрація рівнів прилипання, що приходиться на одиницю енергії,  $T_t$  – температурний параметр.

З аналізу вольт-фарадних характеристик було знайдено величину вбудованого потенціалу  $V_{bi}$ , яка при кімнатній температурі дорівнювала 0,35 eV. З врахуванням обчисленої глибини залягання рівня Фермі, значення  $\phi_b$  для отриманих структур знаходиться в межах 0,45 – 0,48 eV при 296 K.

Висоту бар'єра також можна знайти з виразу [7]:

$$\phi_b = \frac{kT}{q} \ln \left( \frac{A \cdot T^2}{J_s} \right). \quad (8)$$

Використовуючи розраховані вище величини, значення  $\phi_b$  при кімнатній температурі складає ~0,65 eV.

Зауважимо, що визначення  $\phi_b$  згідно (8) не є достатньо точним через відхилення фактора неідеальності від одиниці.

На рисунку 5 приведено спектральну залежність

відносної квантової ефективності фотоперетворення  $\eta$ , що рівна відношенню фотоструму короткого замикання до числа падаючих фотонів.

Довгохвильовий край залежності  $\eta(h\nu)$  бар'єрів Шоткі при  $h\nu \leq 1$  eV експоненціальний і характеризується  $S = d(\ln\eta)/d(h\nu) \approx 50$  eV<sup>-1</sup> крутизною що дозволяє рахувати міжзонні оптичні переходи прямими. Екстраполяція кривої  $(\eta h\nu)^2$  до нуля (рис. 5, вставка) дозволяє отримати значення енергії, яке відповідає ширині забороненої зони CuInSe<sub>2</sub>  $E_g = 0,98$  eV, що цілком погоджується з літературними даними [4,5].

Досягнутий в досліджуваних діодах широкосмуговий фотовольтаїчний ефект свідчить про високу якість структур. Слід відмітити, що короткохвильовий спад  $\eta$  практично не проявляється. Повна ширина спектра квантової ефективності фотоперетворення на напіввисоті є доволі значною і рівна  $\delta_{1/2} > 2$  eV.

#### IV. Висновки

Бар'єри Шоткі отримувались методом термічного наплення плівки індію на монокристалічні зразки p-CuInSe<sub>2</sub>. Аналіз температурних залежностей ВАХ в області прямих зміщень показує наявність трьох основних механізмів струмопереносу: термоелектронна емісія, рекомбінаційний та тунельно-рекомбінаційний. Поведінка обернених віток ВАХ характерна для струмів, обмежених просторовим зарядом. Фотовольтаїчні вимірювання свідчать про широкосмуговий характер спектрального контуру фотоструму.

Одержані бар'єри та приведені результати експериментальних досліджень показують перспективність даного напрямку і при відповідній оптимізації технологічних і фізичних параметрів можуть привести до суттєвого покращення фотоелектричних показників, так як це було зроблено нами в [8].

**Ковалюк З.Д.** – доктор фізико-математичних наук, професор;  
**Орлецький В.Б.** – кандидат фізико-математичних наук, старший науковий співробітник;  
**Сидор О.М.** – аспірант;  
**Нетяга В.В.** – молодший науковий співробітник.

- [1] H.-W. Schock. Solar cells based on  $\text{CuInSe}_2$  and related compounds: recent progress in Europe // *Solar Energy Materials & Solar Cells*, **34**, pp. 19–26 (1994).
- [2] C.F. Gay, R.R. Potter, D.P. Tanner, B.E. Anspaugh. Radiation effects on thin film solar cells // *Proceeding of the 17<sup>th</sup> IEEE Photovoltaic Specialists Conference*, p. 151 (1984).
- [3] В.И. Стриха, С.С. Кильчицкая. *Солнечные элементы на основе контакта металл – полупроводник*. Энергоатомиздат, СПб., 136 с. (1991).
- [4] М.А. Магомедов, В.Д. Прочухан, Ю.В. Рудь. Фотоэлектрические свойства диодов Шоттки  $\text{In-p-CuInSe}_2$  // *ФТП*, **26**(11), сс. 1996–2000 (1992).
- [5] E. Hernandez. Space-charge-limited current effects in p-type  $\text{CuIn}_{0.8}\text{Ga}_{0.2}\text{Se}_2/\text{In}$  Schottky diodes // *Cryst. Res. Tech.*, **33**(2), pp. 285–289 (1998).
- [6] М. Ламперт, П. Марк. *Инжекционные токи в твердых телах*. Мир, М., 416 с. (1973).
- [7] С. Зи. *Физика полупроводниковых приборов: В 2-х книгах. Кн. 2*. Мир, М., 456 с. (1984).
- [8] S.I. Drapak, Z.D. Kovalyuk, V.V. Netyaga, V.B. Orletskii. Radiation stable photodetectors based on layered III-VI compounds // *Proceedings of International conference “Science for materials in the Frontier of Centuries: Advantages and Challenges”*, Kyiv, Ukraine, pp. 129–130 (2002).

Z.D. Kovalyuk, V.B. Orletskyy, O.M. Sydor, V.V. Netyaga

## Research electrical and optical behaviour Barriers Shottki $\text{In/p-CuInSe}_2$

*Institute for Problems of Materials Science, NAS of Ukraine, Chernivtsi branch,  
5, I. Vilde Str., Chernivtsi, 58001, Ukraine*

The Schottky barriers are made by thermal evaporation indium on p-type  $\text{CuInSe}_2$  single crystals. The temperature dependences of current-voltage characteristics and relative quantum efficiencies are discussed; current transport mechanisms of the prepared diodes are interpreted. It is shown that the received surface-barrier structures are perspective as photoconverters of solar radiation.